

**МИНОБРНАУКИ РОССИИ**  
**САНКТ-ПЕТЕРБУРГСКИЙ ГОСУДАРСТВЕННЫЙ**  
**ЭЛЕКТРОТЕХНИЧЕСКИЙ УНИВЕРСИТЕТ**  
**«ЛЭТИ» ИМ. В.И. УЛЬЯНОВА (ЛЕНИНА)**  
**Кафедра КСУ**

**ОТЧЕТ**  
**по лабораторной работе №7**  
**по дисциплине «ПОСУ»**  
**Тема: ОПТИМАЛЬНОЕ УПРАВЛЕНИЕ. МАКСИМАЛЬНОЕ БЫСТРОДЕЙСТВИЕ**  
**ДЛЯ ОБЪЕКТА 3-ГО ПОРЯДКА**  
**Вариант 7**

Студенты гр. 9492

\_\_\_\_\_

Ливаренко С.С  
Иванов М.К.

Преподаватель

\_\_\_\_\_

Кавонкин Н.И.

Санкт-Петербург  
2024

### Цель работы.

Исследовать задачу максимального быстродействия для объекта 3-го порядка.

### Постановка задачи.

Дана система ДУ, описывающая динамический объект:

$$\begin{cases} \frac{dx_1}{dt} = x_2 \\ \frac{dx_2}{dt} = x_3 \\ \frac{dx_3}{dt} = -3x_2 - 4x_3 + u, \quad x_1(0) = -8, x_2(0) = 0, x_3(0) = 0 \\ |u| \leq u_{\max} = 1.2 \end{cases}$$

Требуется найти управляющее воздействие, переводящее объект управления из начального состояния в конечное:

$$\begin{aligned} x_1(0) &= -8 & x_1(T) &= 0 \\ x_2(0) &= 0 & \rightarrow x_2(T) &= 0 \\ x_3(0) &= 0 & x_3(T) &= 0 \end{aligned}$$

таким образом, чтобы обеспечить максимальное быстродействие.

Для случая объекта 3 порядка, собственные числа которого являются вещественными числами, можно применять теорему об  $N$  интервалах. Согласно этой теореме, оптимальное управление является последовательностью постоянных интервалов с разными знаками, и количество интервалов равно порядку системы. Тогда задача поиска может быть сформулирована следующим образом:

Требуется найти такие значения параметров  $t_1$ ,  $t_2$  и  $T$ , где  $t_1$  и  $t_2$  моменты переключения знака управляющего воздействия, а  $T$  - момент выключения управления, при которых расстояние между изображающей точкой, соответствующей моменту  $T$  и требуемым конечным состоянием объекта, было бы минимальным

Задание:

1. Вычислить собственные числа динамической системы, заданной в соответствии с вариантом (в качестве обоснования для применения теоремы об  $N$  интервалах).
2. Определить моменты переключения для объекта 3-го порядка в соответствии с исходными данными графическим методом на фазовой плоскости и дальнейшим уточнением с помощью `fminsearch`.
3. Таблица точек начала поиска и результатов поиска функцией `FMINSEARCH` (если потребуется сделать несколько итераций).

4. Графики фазовой плоскости  $x_2x_3$  для выбранного произвольно момента времени  $t_{11}$ , графики  $x_1(t)$ ,  $x_2(t)$ ,  $x_3(t)$ , соответствующие выбранному моменту, графики  $x_1(t)$ ,  $x_2(t)$ ,  $x_3(t)$ , соответствующие итоговым моментам переключения.

### Выполнение работы.

Объект управления в векторно-матричной форме имеет вид:

$$\dot{x} = Ax + Bu, |u| \leq u_{\max} = 1.2$$

где  $A = \begin{bmatrix} 0 & 1 & 0 \\ 0 & 0 & 1 \\ 0 & -3 & -4 \end{bmatrix}$ ,  $B = \begin{bmatrix} 0 \\ 0 \\ 1 \end{bmatrix}$ . Собственные числа матрицы системы:

$$\lambda_1 = 0, \lambda_2 = -1, \lambda_3 = -3$$

Так как собственные числа являются вещественными числами, можно применить теорему об N интервалах.

Рассмотрим проекцию фазовой траектории на плоскости  $x_2x_3$ . Начальные и конечные условия на данной плоскости равны нулю. Значит фазовая траектория должна начинаться из точки (0;0), перемещаться в две точки переключения и заканчиваться в точке (0;0).

На первом этапе решения задачи выберем первую точку переключения произвольно  $t_1 = 6$ . На рис.1. приведены графики фазовой плоскости  $x_2x_3$  для выбранного произвольно момента времени  $t_{11}$ .

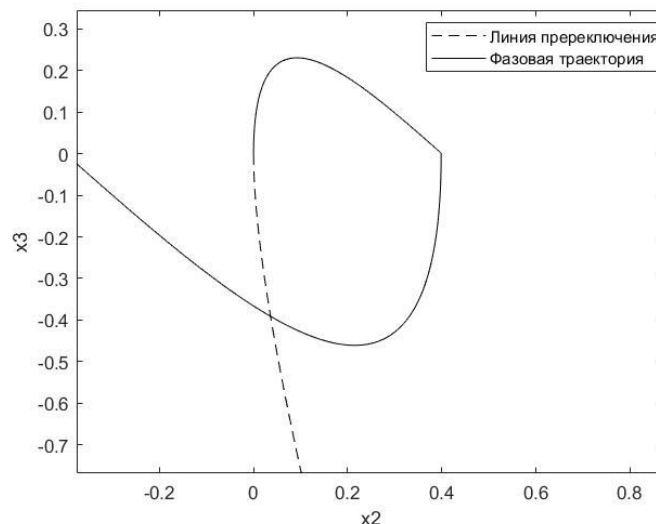


Рис.1. Графики фазовой плоскости  $x_2x_3$  для выбранного произвольно момента времени  $t_{11}$ .

Определив  $t_2$  по точке пересечения фазовой траектории с линией переключения, построим графики  $x_1(t)$ ,  $x_2(t)$ ,  $x_3(t)$ , соответствующие выбранным моментам  $t_1$  и  $t_2$ . На рис.2. приведены графики  $x_1(t)$ ,  $x_2(t)$ ,  $x_3(t)$ .

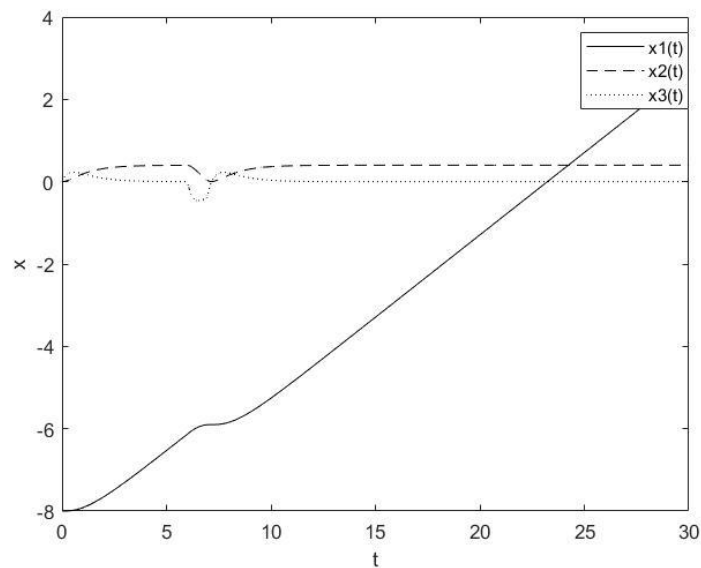


Рис.2. Графики  $x_1(t)$ ,  $x_2(t)$ ,  $x_3(t)$ , соответствующие выбранным моментам  $t_1$  и  $t_2$

Момент времени выключения управления  $T$  будет равняться абсциссе точки пересечения графика  $x_3(t)$  с осью абсцисс. В листинге.1. приведён скрипт для поиска моментов переключения.

Листинг.1.

```
u_max=1.2;
t1=6;
u_t = @(t) u_max*[(t<t1)-(t>=t1)];
odefun =@(t,x) [x(2);x(3);-3*x(2)-4*x(3)+u_max];
%Интегрирование в обратном времени
[t,x] = ode45(odefun, [10:-0.01:0], [0 0 0]);
plot(x(:,2),x(:,3),'k--')
xt2=x(:,2)
xt3=x(:,3)
hold on
odefun =@(t,x) [x(2);x(3);-3*x(2)-4*x(3)+u_t(t)];
%Интегрирование в прямом времени
[t,x] = ode45(odefun, [0:0.01:10], [-8 0 0]);
plot(x(:,2),x(:,3),'k')
xlabel('x2')
ylabel('x3')
legend('Линия пререключения','Фазовая траектория в прямом времени')
xlim([min(x(:,2)) max(x(:,2))])
ylim([min(x(:,3)) max(x(:,3))])
% Определение t2
[x20,x30]=ginput();
del=abs(x30*ones(size(x(:,3))))-abs(x(:,3));
```

```

[M,I]=min(abs(del));
t2=t(I);
% Определение T
u_t = @(t) u_max*[(t<t1)-(t>=t1)+2*(t>=t2)];
odefun =@(t,x) [x(2);x(3);-3*x(2)-4*x(3)+u_t(t)];
[t,x] = ode45(odefun, [0 30], [-8 0 0]);
figure(2)
plot(t,x(:,1),'k',t,x(:,2),'k--',t,x(:,3),'k:')
xlabel('t')
ylabel('x')
legend('x1(t)','x2(t)','x3(t)')
[M,I]=min(abs(x(:,1)));
T=t(I);
% Построение конечных переходных процессов
u_t = @(t) u_max*[(t<t1)-(t>=t1)+2*(t>=t2)]*(t<T);
odefun =@(t,x) [x(2);x(3);-3*x(2)-4*x(3)+u_t(t)];
[t,x] = ode45(odefun, [0 30], [-8 0 0]);
figure(3)
plot(t,x(:,1),'k',t,x(:,2),'k--',t,x(:,3),'k:')
xlabel('t')
ylabel('x')
legend('x1(t)','x2(t)','x3(t)')
%определение величины x1T1
x1T1=x(end,1);

```

При помощи скрипта был получен набор моментов переключения  $t1 = 6$ ,  $t2=6.95$ ,  $T = 23.15$ . На рис.3. приведёны графики  $x_1(t)$ ,  $x_2(t)$ ,  $x_3(t)$ , соответствующие выбранным моментам переключения.

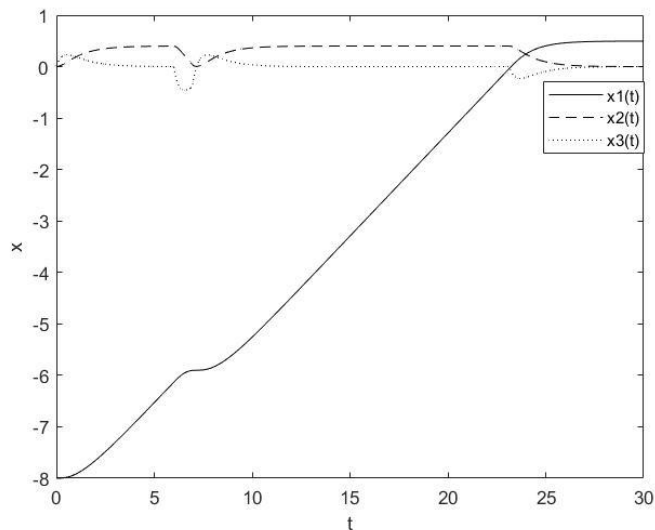


Рис.3. Графики  $x_1(t)$ ,  $x_2(t)$ ,  $x_3(t)$ , соответствующие выбранным моментам переключения.

На данной итерации получен набор моментов переключения, который обеспечивает минимальное время перевода объекта в точку промежуточного финиша  $[x_{1T1} = 0.5 \ 0 \ 0]$ , как видно из рис.3.

Уточним величины  $t_1$ ,  $t_2$ ,  $T$  с помощью функции FMINSEARCH, указывая в качестве начальной точки поиска – [6 6.95 23.15]. В листинге.2. приведён скрипт для поиска моментов переключения.

#### Листинг.2.

```
t0=[6 6.95 23.15]
T=fminsearch('costfunc',t0)
xlabel('t')
ylabel('x')
legend('x1(t)', 'x2(t)', 'x3(t)')
```

В листинге.3. приведена функция потерь.

#### Листинг.3.

```
function z=costfunc(Tvec)
t1 = Tvec(1); t2 = Tvec(2); T = Tvec(3);
u_t = @(t) 1.2*[(t<t1)-(t>=t1)+2*(t>=t2)]*(t<T)
rp_ode = @(t,x) [x(2); -x(2)+x(3); -2*x(3)+u_t(t)];
[t,x]=ode45(rp_ode,[0 30],[-8; 0; 0])
z=10*x(end,1)*x(end,1)+T+10^10*(t2-t1<0)+10^10*(T-t2<0)
plot(t,x(:,1),'k',t,x(:,2),'k--',t,x(:,3),'k:')
```

В результате работы скрипта были получены моменты переключения:

$$t_1 = 7.085$$

$$t_2 = 7.094$$

$$T = 13.15$$

Данные моменты переключения обеспечивают перевод объекта в требуемую конечную точку [0 0 0]. На рис.4. приведены графики  $x_1(t)$ ,  $x_2(t)$ ,  $x_3(t)$ , соответствующие итоговым моментам переключения.

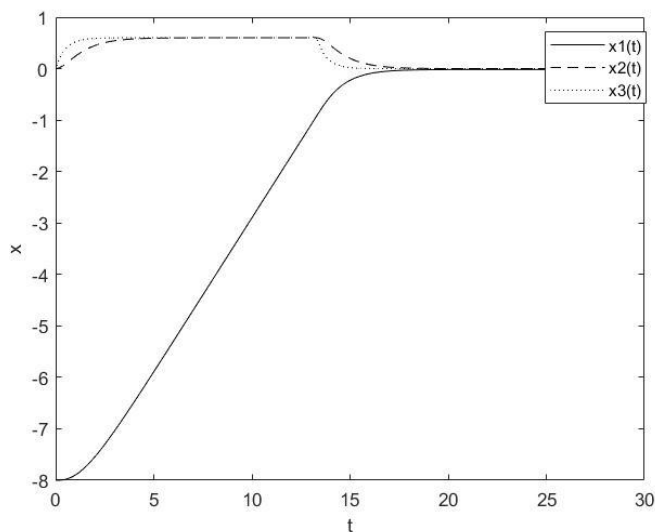


Рис.4. Графики  $x_1(t)$ ,  $x_2(t)$ ,  $x_3(t)$ , соответствующие итоговым моментам переключения.

**Вывод.**

В данной лабораторной работе была решена задача максимального быстрогодействия для объекта 3-го порядка. Для нахождения управляющего воздействия использовались фазовые портреты и функция FMINSEARCH. Были найдены моменты переключения знака управляющего воздействия, так чтобы объект управления переводился из начального состояния в заданное конечное.